

Journal of Water and Wastewater, Vol. 33, No. 4, pp: 18-35

# Synthesis and Application of Granulated Cellulose/CuBDC/Fe<sub>3</sub>O<sub>4</sub> in Elimination of Direct Blue 71 by Heterogeneous Fenton Process

M. Ebrahimi Farshchi<sup>1</sup>, H. Aghdasinia<sup>2</sup>, S. Rostamnia<sup>3</sup>

1. PhD. Student, Dept. of Chemical Engineering, Faculty of Chemical and Petroleum Engineering, University of Tabriz, Tabriz, Iran
2. Assoc. Prof., Dept. of Chemical Engineering, Faculty of Chemical and Petroleum Engineering, University of Tabriz, Tabriz, Iran  
(Corresponding Author) aghdasinia@tabrizu.ac.ir
3. Prof., Organic and Nano Group (ONG), Dept. of Chemistry, Iran University of Science and Technology (IUST), Tehran, Iran

(Received March 5, 2022 Accepted May 14, 2022)

**To cite this article:**

Ebrahimi Farshchi, M., Aghdasinia, H., Rostamnia, S. 2022. "Synthesis and application of granulated Cellulose/CuBDC/Fe<sub>3</sub>O<sub>4</sub> in elimination of direct blue 71 by heterogeneous fenton process" Journal of Water and Wastewater, 33(4), 18-35. Doi:10.22093/wwj.2022.332708.3244. (In Persian)

**Abstract**

Plenty of methods have been introduced to treat the consumed water where the advantages and disadvantages of each method define their applications. Advanced oxidation processes have become a scientific trend due to high removal efficiency. As one of the AOP methods, heterogeneous Fenton method has received plenty of interest because of its high operational capability. In this study, cellulose/CuBDC/Fe<sub>3</sub>O<sub>4</sub> nanocomposite was utilized as heterogeneous Fenton catalyst to remove Direct Blue 71 toxic dye from aqueous media. The catalyst was synthesized as granulated beads to eliminate the operational limitations of utilizing powdered catalysts. The catalysts were characterized by SEM, EDX, FTIR and XRD analysis to validate the successful synthesis procedure. The effects of each component of the nanocomposite on the removal efficiency were investigated. The effective operation of independent parameters such as the initial dye concentration, H<sub>2</sub>O<sub>2</sub> concentration and catalyst dosage were modeled and optimized by RSM design of experiments method. At the optimum point, the removal efficiency of 86.93% was achieved. In addition, the COD of the wastewater was decreased by 73.52%, which demonstrated the high potential of granulated cellulose/CuBDC/Fe<sub>3</sub>O<sub>4</sub> nanocomposite in decomposing organic matter to H<sub>2</sub>O, CO<sub>2</sub>, NO<sub>2</sub> and SO<sub>2</sub>. The prepared granulated catalysts retain their removal characteristics over 8-cycle operation.

**Keywords:** Advanced Oxidation, Heterogeneous Fenton, Metal-Organic Framework, Granule, Direct Blue 71, RSM Modeling.



مجله آب و فاضلاب، دوره ۳۳، شماره ۴، صفحه: ۱۸-۳۵

# سنتر نانو کامپوزیت گرانولی Cellulose/CuBDC/Fe<sub>3</sub>O<sub>4</sub> به منظور حذف ماده رنگزای آبی مستقیم ۷۱ طی فرایند فنتون ناهمگن

مهدي ابراهيمى فرشچي<sup>۱</sup>، حسن اقدسى نيا<sup>۲</sup>، صادق رستم نيا<sup>۳</sup>

۱- دانشجوی دکترا، گروه مهندسی شیمی، دانشکده مهندسی شیمی و نفت،

دانشگاه تبريز، تبريز، ايران

۲- دانشيار، گروه مهندسی شیمی، دانشکده مهندسی شیمی و نفت،

دانشگاه تبريز، تبريز، ايران

(نويسنده مسئول) aghdasinia@tabrizu.ac.ir

۳- استاد، گروه شیمی آلی و نانو، دانشکده شیمی،

دانشگاه علم و صنعت ايران، تهران، ايران

(دریافت ۱۴۰۰/۱۲/۱۴) پذيرش (۱۴۰۰/۱۲/۲۴)

برای ارجاع به این مقاله به صورت زیر اقدام بفرمایید:

ابراهيمى فرشچي، م، اقدسى نيا، ح، رستم نيا، ص، ۱۴۰۱، "سنتر نانو کامپوزیت گرانولی Cellulose/CuBDC/Fe<sub>3</sub>O<sub>4</sub> به منظور حذف ماده رنگزای آبی

مستقیم ۷۱ طی فرایند فنتون ناهمگن" مجله آب و فاضلاب، ۳۳(۴)، ۱۸-۳۵، Doi:10.22093/wwj.2022.332708.3244.

## چكیده

روش های فراوانی برای بازیافت آبهای مصرفی وجود دارد که هر یک از روش ها، مزایا و معایب مربوط به خود را دارند. اخیراً روشهای اکسایش پیشرفتی به دلیل بازدهی زیاد، توجه پژوهشگران را به خود جلب کرده است. روش فنتون ناهمگن یکی از انسواع روشهای اکسایش پیشرفتی است که از لحاظ عملیاتی و کارایی مورد توجه قرار گرفته است. در این پژوهش، نانو کامپوزیت cellulose/CuBDC/Fe<sub>3</sub>O<sub>4</sub> به منظور حذف ماده رنگزای سنتی آبی مستقیم ۷۱ طی فرایند فنتون ناهمگن استفاده شد. این کاتالیست به صورت گرانولی سنتر و تهییه شد تا معایب عملیاتی استفاده از کاتالیست به صورت پودری حذف شود و گامی به سوی صنعتی سازی این نوع کاتالیست برداشته شود. آنالیزهای مختلفی مانند SEM، EDX، XRD و FTIR برای مشخصه یابی کاتالیست انجام شد تا از صحبت سنتر صحیح آنها اطمینان حاصل شود. تأثیر هر یک از اجزای سازنده نانو کامپوزیت به تنها یک بر روی فرایند حذف آلاینده برسی شد. افزودن نانوذرات Fe<sub>3</sub>O<sub>4</sub> به دلیل خاصیت اکسایشی و قابلیت شرکت در فرایند فنتون، باعث ایجاد جهش در حذف آلاینده شد. این فرایند به روش طراحی آزمایش RSM مدل سازی شد و تأثیر پارامترهای مستقل غلظت اولیه ماده رنگزای، دوز کاتالیست و غلظت اولیه هیدروژن پراکسید بر روی حذف رنگزای آبی مستقیم ۷۱، برسی شد و در نقطه بهینه درصد حذف ۸۶/۹۳ درصد به دست آمد. همچنین ۷۳/۵۲ درصد از COD پساب در نقطه بهینه کاهش یافت که نشان دهنده پتانسیل زیاد گرانول ها در تجزیه آلاینده و تبدیل آن به H<sub>2</sub>O، CO<sub>2</sub>، NO<sub>2</sub> و SO<sub>2</sub> بود. گرانول های تهییه شده پایداری زیادی داشت و در صورت بازیابی، قابلیت ۸ بار استفاده در فرایند حذف آلاینده را داشت.

**واژه های کلیدی:** اکسایش پیشرفتی، فنتون ناهمگن، چارچوب فلز-آلی، گرانول، رنگزای آبی مستقیم ۷۱، مدل سازی RSM



**۱- مقدمه**

غشا، بازده زیادی داشته ولی در عین حال توانایی از بین بردن آلاینده‌های سمی را ندارند، بلکه فقط آلاینده از محیطی به محیط دیگر انتقال پیدا می‌کنند. فرایندهای بیولوژیکی نیز جزء پرکاربردترین و مؤثرترین روش‌های حذف آلاینده است ولی این روش نیاز به داشتن زمان فرایندی زیادی دارد. روش اکسایش پیشرفت‌هه جزء روش‌های نسبتاً جدید و نوین‌تر از سایر روش‌ها است که در این روش با تولید رادیکال‌های آزاد فعال در داخل پساب، این امکان به وجود می‌آید که این رادیکال‌ها به آلاینده‌های آلی حمله کرده و باعث از بین بردن و تجزیه این نوع آلاینده‌ها به موادی مانند  $\text{CO}_2$  و  $\text{H}_2\text{O}$  می‌شوند.

واکنش فنتون ناهمگن<sup>۳</sup> یکی از انواع فرایندهای اکسایش پیشرفت‌ه است که در این روش واکنش هیدروژن پراکسید با یون فلزی آهن باعث تولید رادیکال فعال هیدروکسیل می‌شود و در نهایت طی واکنش‌های میانی رادیکال‌های مختلفی مانند سوپراکسیدها نیز تولید می‌شود (جدول ۱) (Alamgholiloo et al., 2018; Farshchi et al., 2021).

طور که از اسم آن مشخص است دارای کاتالیست‌های هتروژنی و نامحلول در پساب است. مهم‌ترین مزیت این فرایند نسبت به فرایند فنتون معمول، عدم تولید لجن در پساب نهایی است. مواد و نانوماد گوناگونی توسط پژوهشگران در فرایند فنتون ناهمگن، استفاده شده است (Farshchi et al., 2019). در بین این مواد، چارچوب‌های فلز-آلی<sup>۴</sup> اخیراً مورد توجه پژوهشگران قرار گرفته است.

همان طور که از اسم چارچوب‌های فلز-آلی مشخص است، این مواد از دو جزء آلی و فلزی تشکیل شده‌اند، به‌طوری که یون‌های فلزی توسط یک لیگاند (اتصال‌دهنده آلی) به یکدیگر به صورت منظم متصل شده‌اند و در نهایت ساختار منظم چند بعدی (بستگی به نوع لیگاند) تشکیل داده‌اند. این مواد به‌دلیل ماهیت آنها بسیار متخلخل هستند. چارچوب‌های فلز-آلی به علت داشتن خصوصیات مواد آلی و فلزی به صورت همزمان و همچنین سطح ویژه بالا، در مصارف مختلف اعم از کاتالیست، سنسور و جاذب استفاده می‌شوند (Ma et al., 2021; Peng et al., 2020).

یکی از انواع MOF‌ها است که یون‌های فلز مس

امروزه با توجه به رشد جمعیت دنیا، نیازهای روزمره آنها به استفاده از آب و منابع آبی افزایش یافته است. همچنین در نتیجه این افزایش جمعیت و پیشرفت تکنولوژی در صنایع مختلف، تغییرات چشمگیری در آب و هوای جهان پیامون ایجاد شده است که حاصل آنها، تغییرات اقلیمی و کاهش منابع طبیعی تأمین آب است. در صورت عدم مدیریت بهینه منابع آبی، این منابع روزبه روز کاهش یافته و بشریت با وضعیت بحرانی در تأمین آب برای مصارف مختلف (مخصوصاً در کشورهای در حال توسعه) مواجه خواهد شد. در حال حاضر دو راهکار اساسی در مقابله با بروز چنین بحران‌هایی وجود دارد که عبارت‌اند از: مدیریت بهینه مصرف و استفاده مجدد از آبهای مصرف شده. در سراسر جهان تلاش‌ها و برنامه‌های وسیع و گستردگی در این دو حیطه در حال انجام است. دانشمندان و پژوهشگران به دنبال یافتن راه‌های مختلف و مقرر برای مصرفه براتی تصفیه آبهای مصرفی و بازگرداندن مجدد آنها به چرخه مصرف هستند.

انواع آلاینده‌های آلی، معدنی و بیولوژیکی در صنایع مختلف به صورت پساب دفع می‌شوند که حذف و دفع هر یک از آنها به نوبه خود، اهمیت زیادی دارد. در بین آنها آلاینده‌های آلی به ویژه آلاینده‌های رنگزا به دلیل حجم زیاد مصرف در صنایعی مانند چرم‌سازی، رنگرزی، دارویی و غذایی، اهمیت خاصی دارند. رنگزا ای آبی مستقیم<sup>۱</sup> یکی از رنگزاهای پرکاربرد و در عین حال بسیار سمی است که به وفور در صنایع رنگرزی در ایران کاربرد دارد (Wang et al., 2018). این رنگزا جزء دسته مواد آزودار سه‌تایی است. بهمین دلیل بسیار سمی بوده و حتی دوزهای پایین آن می‌توانند باعث ایجاد مسمومیت و بیماری‌های مزمن در بدن انسان و حتی موجودات آبی شوند. روش‌های مختلفی برای حذف رنگزاهای جذب، بیولوژیکی، غشا، اکسایش و اکسایش پیشرفت<sup>۲</sup> (Pronk et al., 2019; Dichiara et al., 2015; Yu et al., 2020)

هر یک از روش‌های نام برد، معاایب و مزایای مختلفی دارند (Crini and Lichtfouse, 2019)

<sup>1</sup> Direct Blue 71 (DB71)

<sup>2</sup> Advanced Oxidation Process (AOP)

<sup>3</sup> Heterogeneous Fenton Reaction

<sup>4</sup> Metal-Organic Framework (MOF)



جدول ۱- واکنش‌های فرایند حذف آبی مستقیم  
Table 1. Reaction mechanisms of DB71 mineralization

No.	Reaction
R1	$\text{Fe}^{2+} + \text{H}_2\text{O}_2 \rightarrow \text{Fe}^{3+} + \text{OH}^- + \cdot\text{OH}$
R2	$\text{Fe}^{2+} + \cdot\text{OH} \rightarrow \text{Fe}^{3+} + \text{OH}^-$
R3	$\text{Fe}^{2+} + \text{O}_2^{\bullet-} \rightarrow \text{Fe}^{3+} + \text{H}_2\text{O}_2$
R4	$\text{Fe}^{3+} + \text{H}_2\text{O}_2 \rightarrow \text{Fe}^{2+} + \text{HO}_2^\bullet + \text{H}^+$
R5	$\text{Fe}^{3+} + \text{H}_2\text{O} \rightarrow \text{Fe}^{2+} + \cdot\text{OH} + \text{H}^+$
R6	$\text{Fe}^{3+} + \text{HO}_2^\bullet \rightarrow \text{Fe}^{2+} + \text{O}_2 + \text{H}^+$
R7	$\text{Fe}^{3+} + \text{O}_2^{\bullet-} \rightarrow \text{Fe}^{2+} + \text{O}_2$
R8	$\text{H}_2\text{O}_2 + \cdot\text{OH} \rightarrow \text{HO}_2^\bullet + \text{H}_2\text{O}$
R9	$\text{H}_2\text{O}_2 + \text{HO}_2^\bullet \rightarrow \text{O}_2 + \text{H}_2\text{O} + \cdot\text{OH}$
R10	$\text{HO}_2^\bullet \rightarrow \text{O}_2^{\bullet-} + \text{H}^+$
R11	$\text{HO}_2^\bullet + \text{O}_2^{\bullet-} \rightarrow \text{O}_2 + \text{HO}_2^-$
R12	$\text{HO}_2^\bullet + \text{HO}_2^\bullet \rightarrow \text{O}_2 + \text{H}_2\text{O}_2$
R13	$\text{HO}_2^\bullet + \cdot\text{OH} \rightarrow \text{O}_2 + \text{H}_2\text{O}$
R14	$\cdot\text{OH} + \cdot\text{OH} \rightarrow \text{H}_2\text{O}_2$
R15	$\cdot\text{OH} + \text{O}_2^{\bullet-} \rightarrow \text{O}_2 + \text{OH}^-$
R16	$\text{O}_2^{\bullet-} + \text{H}^+ \rightarrow \text{HO}_2^\bullet$
R17	$\text{HO}_2^- + \cdot\text{OH} \rightarrow \text{OH}^- + \text{HO}_2^\bullet$
R18	$\text{DB71} + \cdot\text{OH} \rightarrow \text{IP} \rightarrow \text{CO}_2 + \text{H}_2\text{O}$

هدف از این پژوهش، تولید و سنتز یک نانوکامپوزیت مؤثر در فرایند اکسایش پیشرفتی بود. به طوری که از CuBDC به عنوان چارچوب فلز-آلی در حذف رنگ‌زای آبی مستقیم ۷۱، طی فرایند فنتون ناهمگن استفاده شد. برای بهبود خواص اکسایشی نانوذرات CuBDC، از نانو ذرات  $\text{Fe}_3\text{O}_4$  سنتز شده به روش جدید سالووترمال تکنمکی استفاده شد تا نانوکامپوزیت  $\text{CuBDC}/\text{Fe}_3\text{O}_4$  عملکرد بالایی را در تصفیه پساب نشان دهد. همچنین به منظور طی گامی مؤثر در راستای افزایش مقیاس عملیاتی این طرح، از یک نوع گرانول‌سازی که توسط این تیم پژوهشی طراحی شده است، استفاده شد تا گرانول‌های یکنواخت با پایه سلولزی ایجاد شده و در فرایند حذف استفاده شود. در نهایت گرانول‌های  $\text{Fe}_3\text{O}_4/\text{CuBDC}/\text{cellulose}$  در فرایند اکسایش پیشرفتی، ارزیابی شد و تأثیر پارامترهای مهم فرایند مذکور مانند

توسط لیگاند بنزن دی‌کربوکسیلات به واسطه پیوندهای الکترواستاتیکی به همدیگر متصل شده‌اند تا ساختار متخلخل دو بعدی را تشکیل دهند. در فرایند فنتون ناهمگن کاتالیست به صورت نامحلول و جامد به پساب اضافه می‌شوند. این کار به دو روش اساسی ممکن است:

- استفاده به صورت پودری
- استفاده از کاتالیست به شکل گرانولی. با اینکه استفاده از حالت پودری مواد، به دلیل ایجاد سطح تماس بیشتر می‌تواند مؤثرتر در فرایندهای شیمیایی شرکت کند، ولی معاوی فرایندی محسوسی مانند ایجاد افت فشار در راکتورهای پیوسته و افزایش هزینه عملیاتی برای انجام فرایند جداسازی دارد. بنابراین در مقیاس‌های بیشتر، استفاده از حالت گرانولی، صرفه اقتصادی بیشتری نسبت به حالت پودری دارد (Liu et al., 2020; Bazer-Bachi et al., 2014).



مقطر به عنوان اتصال دهنده اسپری شد تا چسبندگی لازم در ذرات کربوکسی متیل سلولز ایجاد شود و این ذرات در حین دوران داخل محفظه گرانول ساز، به گرانول هایی با سایز یکنواخت تبدیل شوند. لازم به ذکر است اندازه گرانول ها به میزان اسپری اتصال دهنده و زاویه دستگاه گرانول ساز از محور افقی بستگی دارد. همچنین در حین این فرایند از یک میله مستطیلی شکل در مرکز محفظه دور استفاده شد تا تنفس و بریدگی لازم را برای پودرها ایجاد کرده و پودرها از صفحه تخت انتهایی محفظه جدا شده و با گرانول های ایجاد شده تماس پیدا کنند تا گرانول ها شروع به رشد کردن کنند. این گرانول ها را در محلول  $3\text{ M}$  نمک مس ریخته تا یون های مس بر روی گرانول ها بچسبد و پیوندهای باز کربوکسی متیل سلولز با یون های مس بسته شود. سپس این گرانول ها خشک شده و  $10\text{ g}$  از آنها به داخل محفظه تفلونی راکتور اتوکلاو حاوی  $200\text{ mL}$  حلal دی متیل فرمامید منتقل شود. سپس  $3\text{ g}$  گرم لیگاند بنزن دی کربوکسیلات به محلول اضافه شد تا به مدت  $3$  ساعت در همزن با دور  $90\text{ rpm}$  دور بر دقیقه مخلوط شود. سپس  $1\text{ g}$  گرم از نانوذرات  $\text{Fe}_3\text{O}_4$  سنتز شده را به محلول اضافه کرده و هم زده شد تا محلول یکنواختی ایجاد شود.

در نهایت بعد از اختلاط کافی این محفظه تفلونی داخل راکتور استیل بارگذاری شد و به مدت  $48$  ساعت و دمای  $100^\circ\text{C}$  تحت واکنش قرار گرفت. پس از اتمام زمان فرایند سنتز و یکسان شدن دمای محفظه با دمای محیط، گرانول ها را از محلول جدا کرده و چندین بار توسط دی متیل فرمامید و آب شسته شد. بعد از مرحله شستشو گرانول ها را به آون خلاً منتقل کرده و در دمای  $80^\circ\text{C}$  تحت خلاً به مدت  $24$  ساعت خشک شد.

### ۳-۲- مشخصه یابی کاتالیست و آلاینده

برای بررسی مورفولوژی سطوح مواد سنتز شده از آنالیز SEM استفاده شد. در این آنالیز سطح مواد با طلا پوشش داده شد تا از بازتاب مغناطیسی جلوگیری شده و تصاویر با کیفیت بیشتری حاصل شود. این آنالیز با استفاده از دستگاه TESCAN (MIRA3) (Germany) گرفته شد. آنالیز EDX نیز به منظور بررسی اجزای موجود در کاتالیست انجام شد. آنالیز FTIR برای پی بردن به گروه های عاملی و پیوندهای موجود در ماده سنتز شد که با استفاده از این آنالیز می توان به صحت سنتز مواد پی برد. این آنالیز با

دوز جاذب، غلظت اولیه و مقدار اولیه هیدروژن پراکسید، توسط مدل سازی و طراحی آزمایش به روش رویه پاسخ<sup>۱</sup>، ارزیابی شد.

## ۲- مواد و روش ها

### ۲-۱- مواد استفاده شده

کلرید آهن شش آبه و اتیلن گلایکول تهیه شده از شرکت مرک<sup>۲</sup> آلمان در سنتز نانوذرات  $\text{Fe}_3\text{O}_4$  استفاده شد. برای سنتز گرانول چارچوب فلز آلی از نیترات مس سه آبه، بنزن دی کربوکسیلات، کربوکسی متیل سلولز تهیه شده از شرکت مرک و دی متیل فرمامید تهیه شده از شرکت نوترون شیمی (ایران) استفاده شد. متانول و هیدروژن پراکسید از شرکت دکتر مجللی (ایران) به منظور استفاده در فرایند فنتون ناهمگن تهیه شد. از محلول های هیدروکلرید اسید و سدیم هیدروکسید به منظور تنظیم pH محلول ها استفاده شد و در نهایت رنگ آبی مستقیم ۷۱ از شرکت تایجان ژابو (چین) تهیه شد.

### ۲-۲- سنتز نانوکامپوزیت گرانولی

برای سنتز نانوذرات  $\text{Fe}_3\text{O}_4$  ابتدا  $16/2\text{ g}$  گرم از نمک آهن (III)  $300\text{ mL}$  ( $\text{FeCl}_3 \cdot 6\text{H}_2\text{O}$ ) را به طور کامل تحت هم زدن شدید در اتیلن گلایکول به مدت  $3$  ساعت حل شد، سپس  $29/8\text{ g}$  گرم سدیم استات سه آبه به محلول تهیه شده اضافه شد. هم زمان با فرایند هم زدن از دستگاه اولتراسونیک، به منظور بهبود فرایند اختلاط استفاده شد. محلول نهایی را به مخزن تفلونی انتقال داده و در راکتور اتوکلاو چرخان بارگذاری شد تا به مدت  $11$  ساعت در دمای  $200^\circ\text{C}$  تحت واکنش قرار گیرد. در نهایت بعد از خنک شدن راکتور و رسیدن به دمای محیط محلول از راکتور خارج شد و ذرات جامد سیاه رنگ توسط سانتریفیوژ از محلول جدا شدند. این مواد به دفعات توسط آب شسته شد و به داخل آون خلاً تحت دمای  $60^\circ\text{C}$  و به مدت  $5$  ساعت انتقال داده شد تا فرایند خشک شدن انجام شود (Alamgholiloo et al., 2021).

سپس به منظور تهیه گرانول های نانوکامپوزیت  $\text{cellulose/CuBDC/Fe}_3\text{O}_4$ ، ابتدا پودر کربوکسی متیل سلولز را در دستگاه گرانول ساز دور ریخته و پودرها شروع به مخلوط شدن داخل این استوانه کردند. سپس به داخل محفظه حاوی پودر، آب

<sup>1</sup> Response Surface Methodology (RSM)

<sup>2</sup> Merck



توسط دستگاه اسپکتروفوتومتر آنالیز شد تا بر اساس نمودار کالیبراسیون رنگ‌زای آبی مستقیم ۷۱، غلظت باقیمانده مشخص شود.

لازم به ذکر است در نقطه بهینه به دست آمده توسط روش RSM بازیابی و استفاده مجدد از کاتالیست برای چندین بار بررسی شد. بعد از استفاده گرانول‌ها در هر چرخه، از محلول جدا شد و به مدت ۲ ساعت داخل اسید هیدروکلریک ۲ مولار ریخته و با سرعت ۱۵۰ rpm هم زده شد. سپس آنها را از محلول جدا کرده و ۴ تا ۵ بار با آب مقطر شستشو داده شد. در نهایت داخل آون تحت دمای  $^{\circ}\text{C}$  ۷۰ و مدت ۶ ساعت خشک شد تا در چرخه بعدی، استفاده شود.

#### ۵-۵- طراحی آزمایش با استفاده از روش رویه پاسخ

طراحی آزمایش برای صرفه‌جویی در زمان، مواد مصرفی، کار آزمایشی، بهینه‌سازی سیستم‌ها و فرایندهای شیمیایی انجام شد. طراحی آزمایش با استفاده از مدل‌های ریاضی، اهمیت آماری مدل‌های مستقل و تأثیر آنها روی پاسخ و همچنین برهم‌کنش مابین آنها ارزیابی شد و در قالب انواع طراحی‌هایی که برای آزمایش‌ها انجام می‌شود، صورت می‌پذیرد.

روش رویه پاسخ مجموعه‌ای از فنون ریاضی و آماری سودمند برای تحلیل مسائلی است که در آنها یک متغیر وابسته یا پاسخ، تحت تأثیر چندین متغیر مستقل است و هدف، یافتن ترکیبی از متغیرهای مستقل است که مقدار پاسخ را بهینه (حداقل و یا حداکثر) می‌کند. کامل‌ترین مدلی که در روش رویه پاسخ استفاده می‌شود.

در این پژوهش تأثیر سه پارامتر غلظت اولیه ماده رنگ‌زا، دوز کاتالیست و غلظت اولیه هیدروژن پراکسید در حذف ماده رنگ‌زا توسط روش طرح ترکیب مرکزی<sup>۱</sup> انجام شد و با استفاده از مدل Full Quadratic مقدار بهینه و همچنین مدل ریاضی برای این فرایند به دست آمد. لازم به ذکر است مدل Full Quadratic با در نظر گرفتن تمامی عوامل همراه با اثرهای متقابلشان و همچنین توان‌های دومنشان قادر به بررسی وجود یا عدم وجود خمیدگی یا خمیدگی‌های سیستم و تحلیل آن است.

<sup>2</sup> Central Composite Design (CCD)

استفاده از دستگاه (Brucker, Germany) TENSPR-27 انجام شد و از قرص‌های KBr، در بازه ۴۰۰ nm تا ۴۰۰۰ nm اندازه‌گیری شد. آنالیز XRD به منظور شناسایی مشخصات کریستالی مواد سنتز شد و ساختار آنها استفاده شد، این آنالیز با استفاده از دستگاه SHIMADZU (Labs XRD-6100) انجاد گیری و با رفرنس‌های موجود داده‌های کریستالی مواد مقایسه شد تا از صحت سنتز مواد اطمینان حاصل شد.

برای شناسایی و اندازه‌گیری غلظت آلاینده رنگ‌زا آبی مستقیم ۷۱ از دستگاه اسپکتروفوتومتر UV-vis استفاده شد. در این روش با توجه به رنگی بودن آلاینده در طول موج مشخصی ماکسیمم، عدد جذب  $600\text{ nm}$  را از خود نشان داد. گام اصلی در این روش کالیبراسیون کردن غلظت آلاینده با عده‌های جذب مستخرج از دستگاه اسپکتروفوتومتر بود.

در این پژوهش از دستگاه I3 Hanon (China) استفاده شد. همچنین میزان اکسیژن خواهی شیمیایی<sup>۱</sup> پساب نیز به وسیله روش اسپکتروفوتومتری (استاندارد ۰۶- D1252 (ASTM) اندازه‌گیری شد (Li et al., 2009).

#### ۴-۲- انجام فرایند فنتون ناهمگن

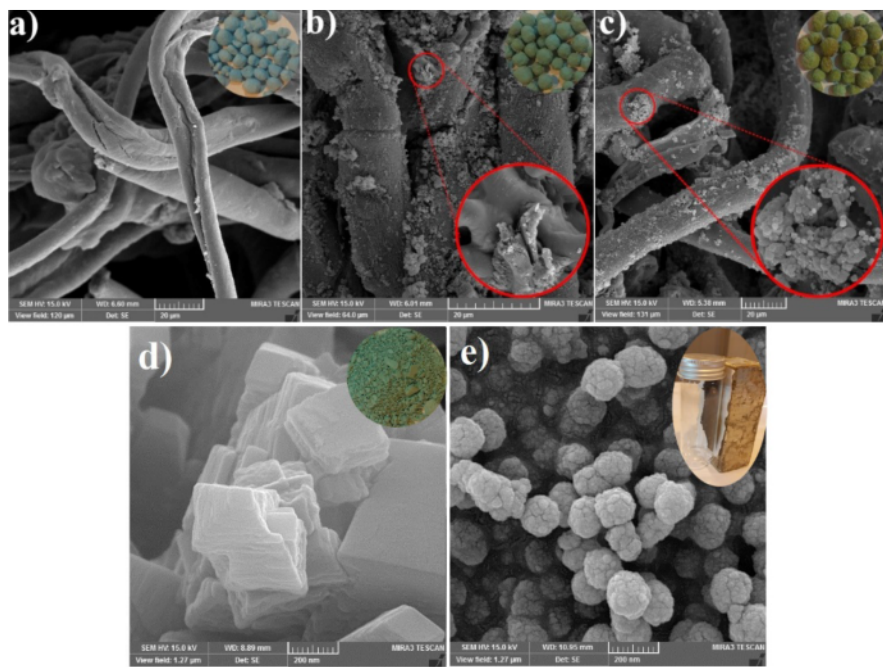
آزمایش فنتون ناهمگن برای پساب حاوی غلظت‌های مختلف آلاینده رنگ‌زا آبی مستقیم ۷۱ در آب، توسط دوزهای مختلف کاتالیست گرانول شده Cellulose/CuBDC/Fe<sub>3</sub>O<sub>4</sub> انجام شد. در این پژوهش ابتدا پساب سنتزی آماده شد، سپس مقدار معینی کاتالیست داخل محلول ریخته شد و pH محلول بر روی عدد ۴ تنظیم شد (pH بهینه برای فرایند فنتون ناهمگن) (Aghdasinia et al., 2016, Kirchon et al., 2020)

در انتهای این پژوهش تأثیر سه پارامتر غلظت اولیه ماده رنگ‌زا، دوز کاتالیست و غلظت اولیه هیدروژن پراکسید داخل محلول، عملاً فرایند فنتون هتروژن شروع شد و طی مدت زمان ۳۰ دقیقه بشرهاخی حاوی مواد بیان شده داخل شیکر انکیباتور قرار گرفت تا محلول داخلی به خوبی هم زده شود.

پس از اتمام زمان فرایند، مقداری از هر یک از نمونه‌ها برداشته شد و توسط سانتریفیوژ به مدت ۲ دقیقه تحت سرعت ۱۵۰۰ rpm فرایند جداسازی هر گونه مواد جامد محتمل انجام شد. در انتهای نمونه

<sup>1</sup> Chemical Oxygen Demand (COD)





**Fig. 1.** SEM analysis of a) bare cellulose granule, b) cellulose/CuBDC granule, c) cellulose/CuBDC/Fe<sub>3</sub>O<sub>4</sub> granule, d) CuBDC powder and e) Fe<sub>3</sub>O<sub>4</sub> powder

شکل ۱- نتایج آنالیز SEM (a) گرانول سلولز، (b) گرانول سلولز/CuBDC، (c) گرانول سلولز/CuBDC/Fe<sub>3</sub>O<sub>4</sub> و (d) پودر CuBDC و (e) پودر Fe<sub>3</sub>O<sub>4</sub>

شکل های ۱- d- ۱- e به ترتیب آمده است. در این اشکال نیز به  
وضوح مشخص است که در روش سنتز تکنیکی و سالووترمالی،  
نانوذرات Fe<sub>3</sub>O<sub>4</sub> به صورت کره های یکنواخت سنتز شده اند.  
همچنین نانوذرات CuBDC به صورت ساختار کریستالی و لایه ای  
چندوجهی سنتز شده است.

نتایج آنالیز EDX (شکل ۲)، از نانوکامپوزیت گرانولی نیز  
حاکی از آن است که مقدار قابل توجهی آهن (نانوذرات Fe<sub>3</sub>O<sub>4</sub>) و  
مس (نانوذرات CuBDC) در نمونه وجود دارد. همچنین علت  
وجود عناصر کربن و اکسیژن در نتایج نیز ناشی از پایه سلولزی  
گرانول و لیگاند موجود در ساختار CuBDC است. همچنین با توجه  
به درصد های وزنی هریک از عناصر، می توان نتیجه گرفت که مقدار  
قابل توجهی از اجزای نانوکامپوزیت بر روی گرانول رشد تشکیل  
شده است که این مقدار، نتایج کیفی SEM را نیز به نوعی تصدیق  
می کند.

نتایج آنالیز FTIR در شکل ۳ نشان داده شده است. همان طور  
که در این شکل مشخص است، نمودار IR اجزای نانوکامپوزیت به  
صورت مستقل و ترکیبی آمده است. در نمودار Fe<sub>3</sub>O<sub>4</sub>، پیک

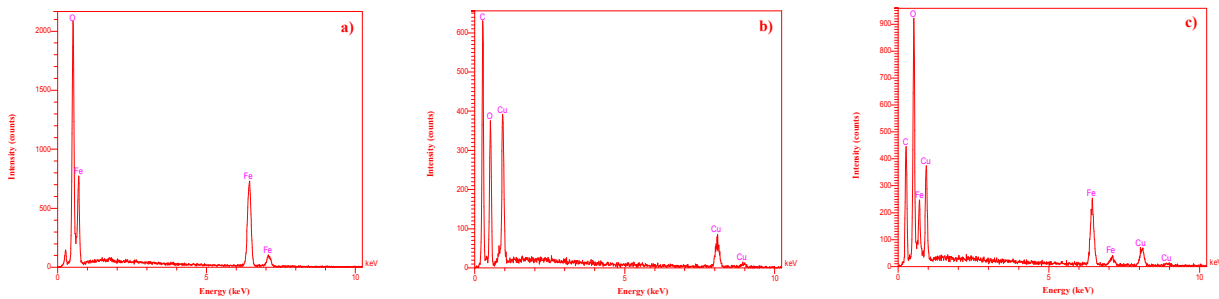
### ۳- نتایج و بحث

#### ۳-۱- مشخصه یابی کاتالیست

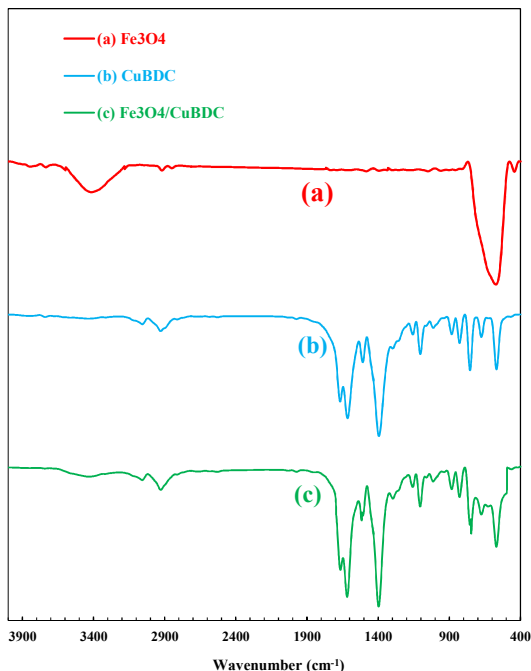
نتایج آنالیز SEM<sup>۱</sup> در شکل ۱ نشان داده شده است. گرانول های  
سلولزی که پیوندهای کربوکسیلات آنها با نمک مس پوشانده شده  
است، هیچ گونه ماده دیگری بر روی آنها تشکیل نشده و گرانول ها  
حال شاخه ای و متخلخل به لحاظ کیفی دارند (شکل ۱-a). در  
شکل ۱-b- کریستال های CuBDC بر روی شاخه های گرانولی به  
وضوح رشد کرده است و از لحاظ کیفی این شکل نشان دهنده آن  
است که چارچوب فلز-آلی به صورت یکنواخت بر روی سلولز  
نشسته است. شکل ۱- c- نیز نانوکامپوزیت cellulose/CuBDC/Fe<sub>3</sub>O<sub>4</sub>  
وضوح مشخص است که علاوه بر CuBDC، نانوذرات کروی شکل  
بر روی شاخه های سلولز گرانولی به طور یکنواخت تشکیل  
شده است. همچنین به منظور مشخص شدن شکل و مورفولوژی  
ظاهری و مستقل هریک از اجزاء نانوکامپوزیت، آنالیز SEM  
Fe<sub>3</sub>O<sub>4</sub> و CuBDC (Fe) به صورت جداگانه و مجزا در

<sup>1</sup> Scanning Electron Microscope (SEM)





**Fig. 2.** EDX analysis of a)  $\text{Fe}_3\text{O}_4$ , b) CuBDC and c) CuBDC/ $\text{Fe}_3\text{O}_4$   
شکل ۲- نتایج آنالیز EDX



**Fig. 3.** FTIR analysis of a)  $\text{Fe}_3\text{O}_4$ , b) CuBDC and c) CuBDC/ $\text{Fe}_3\text{O}_4$   
شکل ۳- نتایج آنالیز FTIR

است. همچنین پیوند کششی دوگانه کربن  $\text{C}=\text{C}$  موجود در حلقه آروماتیکی پیک‌های  $1508\text{ cm}^{-1}$  و  $1615\text{ cm}^{-1}$  را در نمودار نشان داده است. پیک‌های  $1394\text{ cm}^{-1}$  و  $1667\text{ cm}^{-1}$  مربوط به شاخه‌های کربوکسیلات لیگاند است که به ترتیب نشان‌دهنده پیوند  $\text{C}-\text{O}$  و  $\text{C}=\text{O}$  است. البته پیوند کششی  $\text{O}-\text{C}-\text{O}$  و  $\text{C}=\text{O}$  در گروه کربوکسیلات به‌طور معمول به ترتیب در  $1420\text{ cm}^{-1}$  و  $1710\text{ cm}^{-1}$  ظاهر می‌شود ولی در ساختار CuBDC به ترتیب در طول موج‌های  $1394\text{ cm}^{-1}$  و  $1667\text{ cm}^{-1}$  تشکیل شده است که این امر نشان‌دهنده ایجاد پیوند بین  $\text{Cu}^{2+}$  و

شدیدی در طول موج  $572\text{ cm}^{-1}$  ظاهر شده که نشان‌دهنده ارتعاشات Fe-O است. این پیک شدید مشخص می‌کند که نانوذرات  $\text{Fe}_3\text{O}_4$  به درستی تشکیل شده‌اند. علاوه بر آن پیک ایجاد شده در طول موج  $3415\text{ cm}^{-1}$  نشان‌دهنده ارتعاشات پیوند آزاد O-H موجود در ذرات بوده که ناشی از وجود رطوبت نهان داخل مواد است.

در ماده CuBDC، پیک‌های متنوعی به دلیل ساختار پیچیده بنزن دی‌کربوکسیلات ظاهر شده است. پیک‌های  $2928\text{ cm}^{-1}$  و  $3056\text{ cm}^{-1}$  مربوط به پیوند کششی C-H حلقة آروماتیکی لیگاند



### ۲-۳- تأثیر اجزای نانوکامپوزیت

نانوکامپوزیت سنتز شده در این پژوهش، cellulose/CuBDC/Fe<sub>3</sub>O<sub>4</sub> بود. این کامپوزیت همان طور که بیان شد به صورت گرانولی استفاده شد، زیرا استفاده از کاتالیست به حالت و شکل پودری هزینه‌های عملیاتی زیادی دارد. علت این امر ایجاد افت فشار در راکتورهای پیوسته در صورت استفاده از حالت پودری کاتالیست است. علاوه بر افت فشار شدید ایجاده شده، جداسازی و بازیابی کاتالیست‌های پودری شکل، بسیار دشوار بوده و نیازمند صرف هزینه زیاد برای انجام فرایند جداسازی است. از این‌رو در مقیاس‌های پایلوت و صنعتی استفاده از حالت پودری مواد معمولاً صرفه اقتصادی و عملیاتی نداشت و استفاده از شکل گرانولی این مواد توصیه می‌شود (Emady et al., 2016).

به منظور بررسی تأثیر مستقل هریک از اجزای افزوده شده به گرانول، سه حالت مختلف شامل اجزای مختلف نانوکامپوزیت، cellulose/CuBDC/Fe<sub>3</sub>O<sub>4</sub>-۱، cellulose/CuBDC/Fe<sub>3</sub>O<sub>4</sub>-۲ و cellulose/CuBDC/Fe<sub>3</sub>O<sub>4</sub>-۳ در این ارزیابی، شرایط آزمایش برای هر سه نوع از گرانول‌ها یکسان اعمال شده است (۵ mM هیدروژن پراکسید، ۳۰ mg/L pH ۵، ۵ g/L دوز کاتالیست، ۴ معادل غلظت اولیه ماده رنگ‌زا، ۵ دوز کاتالیست، ۰-۶۰ درجه نتایج در شکل ۵ نشان داده شده است. همان‌طور که در شکل مشخص است، گرانول‌های سلولی بدون پوشش چارچوب فلز-آلی و نانوذرات Fe<sub>3</sub>O<sub>4</sub> حذف قابل ملاحظه‌ای از خود نشان ندادند. مقدار اندک حذف نیز می‌تواند ناشی از تجزیه اندک هیدروژن پراکسید در حضور نور مرئی باشد، ولی در حضور CuBDC (خاصیت شرکت در فرایند فتوتون را دارد)، درصد حذف حدودی ۶۰ درصد به دست آمد که نشان‌دهنده قابلیت استفاده از این

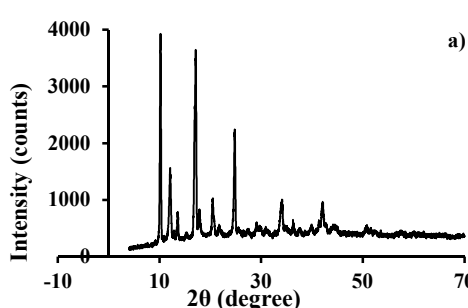
شاخه کربوکسیلات لیگاند است، زیرا این کاهش طول موج ناشی از ایجاد کشش بین یون مس و اکسیژن گروه کربوکسیلات و در نتیجه آن کاهش خفیف طول موج مربوط به پیوندهای بین شده است.

در نهایت پیک‌های ظاهر شده در ۵۶۸ cm<sup>-1</sup> و ۷۵۴ cm<sup>-1</sup> مربوط به نیروی کششی ایجاد شده بین Cu-O است که تشکیل چارچوب فلز-آلی CuBDC را تصدیق می‌کند.

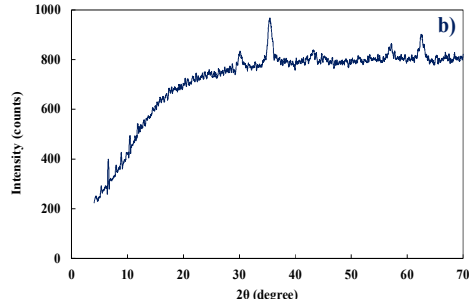
به طور کلی شکل ۳-۳ نشان می‌دهد که نانوکامپوزیت CuBDC/Fe<sub>3</sub>O<sub>4</sub> به درستی سنتز و تشکیل شده است، زیرا حوالی طول موج ۵۶۰ cm<sup>-1</sup> تا ۵۸۰ cm<sup>-1</sup> پیک ایجاد شده در نانوکامپوزیت در مقایسه با تک تک اجزا (CuBDC و Fe<sub>3</sub>O<sub>4</sub>)، شدیدتر و عریض‌تر شده است که نشان‌دهنده ادغام پیک مربوط به برهمنش کششی (Alamgholiloo et al., 2021) است.

آنالیز XRD نانوذرات در شکل ۴ آمده است. همان‌طور که در این شکل مشخص است، پیک‌های شدید ظاهر شده مربوط به نانوذرات با پیک‌های مراجع استاندارد مطابقت دارد و حاکی از ساختار کریستالی این مواد است.

در شکل ۴-a در محدوده ۰-۷۰ درجه برابر با ۴۳/۵، ۳۵/۶، ۳۰/۵، ۵۳/۸، ۵۷/۲ و ۶۳/۴ پیک‌های اصلی وجود دارند که به ترتیب مربوط به فازهای کریستالی Fe<sub>3</sub>O<sub>4</sub> هستند، که این نتایج تصدیقی بر ۴۰ موجود در نانوذرات Fe<sub>3</sub>O<sub>4</sub> است. همچنین شکل ۴-b، ۵ پیک ظاهر سنتز صحیح این ذرات است. همچنین شکل ۴-b، ۵ پیک ظاهر شده در ۱/۳۱، ۳۵/۳، ۳۱/۶، ۵۸/۷، ۴۲/۶، ۳۵/۳ و ۶۳/۳ را نشان می‌دهد که مطابق با پیک‌های مرجع برای فازهای کریستالی CuBDC است (Alamgholiloo et al., 2021).



**Fig. 4. XRD analysis of a) Fe<sub>3</sub>O<sub>4</sub> and b) CuBDC**  
شکل ۴- نتایج آنالیز XRD a) Fe<sub>3</sub>O<sub>4</sub> و b) CuBDC



طراحی، میزان حذف رنگ‌زای آبی مستقیم ۷۱ در طول ۳۰ دقیقه به عنوان پاسخ در نظر گرفته شد.

### ۴-۳-آنالیز آماری واریانس<sup>۱</sup>

برای ارزیابی معنادار بودن و مناسب بودن مدل پیش‌بینی شده از تحلیل آماری واریانس استفاده می‌شود. نتایج تحلیل آماری واریانس مدل به دست آمده برای پاسخ درصد حذف رنگ‌زای آبی مستقیم ۷۱ در جدول ۳ ارائه شده است. مطابق این نتایج، مقدار F-value ۷۱ در جدول ۳ ارائه شده است. مطابق این نتایج، مقدار F-value ۳۰/۶۵ و p-value (کمتر از ۰/۰۰۰۱) نشان می‌دهد که مدل به دست آمده از لحاظ آماری قابل قبول است. مقدار Z-مقدار و p-value کمتر از ۰/۰۵ نشان می‌دهد که تغییرات در پاسخ به خوبی توسط مدل به دست آمده توصیف می‌شود. به طور کلی با در نظر گرفتن ۹۵ درصد سطح اطمینان برای پیش‌بینی مدل رگرسیون، اگر مقدار p-value یک پارامتر، کمتر از ۰/۰۵ باشد، تغییرات آن بر روی مدل مؤثر و معنی‌دار خواهد بود، اما اگر مقدار p-value بیش از ۰/۰۵ باشد، تغییرات آن بر روی مدل، بی‌اشرخواهد بود (Sjöblom et al., 2005).

تست Lack of fit برای مقایسه خطای باقیمانده<sup>۲</sup> و خطای واقعی<sup>۳</sup> انجام می‌شود. شاخص Lack of fit مدل توسعه داده شده، (Hinkelmann and Kempthorne, 2012) بعبارت دیگر مقدار p-value آن باید بیش از ۰/۰۵ باشد. مطابق نتایج جدول ۳، مقدار p-value برای شاخص Lack of fit مدل بیش از ۰/۰۵ بود که تأییدکننده غیر مؤثر بودن fit در مدل توسعه داده شده است.

ضریب تعیین نشان‌دهنده این است که تغییرپذیری در مقدار پاسخ تا چه اندازه می‌تواند به وسیله متغیرهای مستقل و اثرات متقابل آنها توضیح داده شود. در واقع  $R^2$  یک مدل، مقدار تغییرات پاسخ را که می‌توانند به وسیله آن مدل توجیه شوند، نشان می‌دهد (Myers et al., 2009). هر چه مقدار  $R^2$  مدل به عدد یک نزدیک‌تر باشد، توانایی آن مدل در توجیه تغییرات پاسخ بیشتر خواهد بود. همان‌طور که در جدول‌های ۳ تا ۵ نشان داده شده است، مقدار  $93.5\% = R^2$  برای مدل، نشان‌گر این است که ۹۳/۳۵ درصد

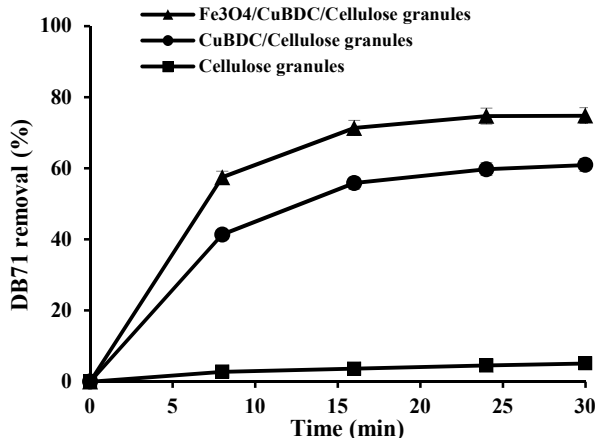


Fig. 5. Removal of DB71 by the heterogeneous Fenton process using the bare cellulose, cellulose/ CuBDC and cellulose/CuBDC/Fe<sub>3</sub>O<sub>4</sub> granules

شکل ۵-نتایج حذف رنگ‌زای آبی مستقیم ۷۱ طی فرایند فنتون ناهمگن توسط گرانول‌های سلولز، cellulose/CuBDC و cellulose/CuBDC/Fe<sub>3</sub>O<sub>4</sub>

نانوکامپوزیت در فرایند فنتون هتروژن است.

فلز آهن قابلیت بسیار زیادی در پیشبرد فرایند فنتون ازاین رو نانوکامپوزیت cellulose/CuBDC/Fe<sub>3</sub>O<sub>4</sub> بیشترین کارایی را داشته و نشان داد که افزودن نانوذرات مغناطیسی آهن به کامپوزیت درصد حذف را از حدود ۶۰ به ۷۸ درصد رساند که درصد بسیار قابل قبولی برای مولکول‌های رنگ‌زای آبی مستقیم ۷۱ به عنوان آلاینده مقاوم است (Moradi et al., 2016, Khataee et al., 2016).

al., 2016)

### ۴-۳-طراحی آزمایش و مدل شبیه‌سازی شده

عوامل متعددی می‌توانند بر کارایی فرایند حذف، اثرگذار باشند که از جمله مهمترین آنها می‌توان به غلظت اولیه ماده رنگ‌زا، دوز کاتالیست و غلظت اولیه هیدروژن پراکسید اشاره کرد. برای بررسی اثر مستقیم و متقابل این عوامل بر فرایند حذف و بهینه‌سازی آنها، از نرم‌افزار (Version 10.0.7.1) Design Expert (Design Expert (Version 10.0.7.1)) که زیرمجموعه‌ای از روش این نرم‌افزار از CCD با مقدار  $\alpha = \pm 1$  روش پاسخ است، استفاده شد. غلظت اولیه ماده رنگ‌زا شامل ۱۰، ۳۰ و ۵۰ میلی‌گرم در لیتر، دوز کاتالیست شامل ۵، ۱۰ و ۱۵ میلی‌مolar بود. ماتریس آزمایش‌های طراحی شده با استفاده از روش CCD شامل ۲۰ آزمایش در جدول ۲ ارائه شده است. در این

<sup>1</sup> Analysis of Variance (ANOVA)

<sup>2</sup> Residual Error

<sup>3</sup> Pure Error



جدول ۲- آزمایش‌های طراحی شده برای مدل طراحی آزمایش RSM

Table 2. Designed experiments for the RSM model

Run	Catalysts dosage (g/L)	H <sub>2</sub> O <sub>2</sub> concentration (mM)	Dye initial concentration (mg/L)	Dye elimination efficiency (%)
1	5	15	50	58.15
2	7.5	10	30	85.36
3	10	5	10	78.35
4	7.5	10	30	86.12
5	7.5	15	30	75.24
6	7.5	10	50	87.68
7	5	5	10	80.72
8	10	15	50	60.12
9	10	5	50	65.75
10	5	10	30	81.34
11	7.5	5	30	78.26
12	7.5	10	30	85.61
13	10	15	10	61.5
14	7.5	10	30	85.61
15	7.5	10	30	85.92
16	10	10	30	72.66
17	7.5	10	30	85.36
18	5	15	10	64.45
19	7.5	10	10	89.35
20	5	5	50	70.63

جدول ۳- تحلیل آماری واریانس

Table 3. ANOVA results

Source	Sum of squares	DF	Mean square	F-value	p-value	
Model	4.204E+07	9	4.671E+06	30.65	< 0.0001	Significant
Residual	1.524E+06	10	1.524E+05			
Lack of fit	1.510E+06	5	3.020E+05	110.69	0.0617	
Pure error	13642.85	5	2728.57			
Total	4.356E+07	19				
			R <sup>2</sup> =0.9335	Adj-R <sup>2</sup> =0.9650		

جدول ۴- نقطه بهینه برای پارامترهای مستقل حذف رنگ‌زا

Table 4. Optimum point of independent variables of DB71 elimination

Catalyst dosage (g/L)	Initial DB71 concentration (mg/L)	H <sub>2</sub> O <sub>2</sub> concentration (mM)	DB71 removal (model %)	DB71 removal (experiment %)
5.38110	10	8.18851	86.9347	88.41

جدول ۵- پارامترهای مدل‌های سینتیکی شبه‌درجه اول و دوم

Table 5. Parameters of the pseudo-first and pseudo-second kinetic models

	R <sup>2</sup>	k	q <sub>e</sub>
Pseudo-first model	0.9236	0.1034	1.7506
Pseudo-second model	0.7235	0.0304	2.3148



### ۵-۳- مقدار بهینه پارامترها

با توجه به طراحی آزمایش انجام شده و آنالیز RSM انجام شده برای پارامترهای مستقل غلظت اولیه ماده رنگزا، دوز کاتالیست و غلظت اولیه هیدروژن پراکسید در سطوح مختلف، مقدار بهینه برای هریک از پارامترها بر اساس بیشینه درصد حذف رنگزا به دست آمد که در جدول ۴ نشان داده شده است. با توجه به اینکه آمد که درست آمده برای مدل عدد قابل اطمینانی بوده،  $Adj-R^2 = 0.9650$  به دست آمده برای مدل توزیع شده توسعه مدل با این حال در نقطه بهینه به دست آمده آزمایش تجربی انجام داده تا از صحت بهینه بودن این پارامترها اطمینان حاصل شود. طبق نتیجه به دست آمده داده تجربی با داده مدل شده کمتر از ۲ درصد اختلاف داشته که نشان دهنده درستی نقطه بهینه است.

### ۶- تأثیر پارامترها

#### ۶-۱- دوز کاتالیست

با افزایش مقدار کاتالیست در پساب، درصد حذف رنگزا افزایش می یابد، بدینه است که افزایش مقدار کاتالیست باعث افزایش تماس مؤثر بین هیدروژن پراکسید و کاتالیست داخل پساب می شود و در نتیجه آن، رادیکال های آزاد بیشتری در پساب تولید شده تا به مولکول های آلاینده حمله کرده و موجب تجزیه آنها شود. دوز کاتالیست بین ۵ تا  $10 \text{ mg/L}$  متغیر شده تا تأثیر این پارامتر بر روی میزان حذف رنگزا بررسی شود. سایر پارامترها (مقدار اولیه

از تغییرات در درصد حذف رنگزا آبی مستقیم ۷۱ توسط مدل قابل توجیه است.

$Adj-R^2$  در واقع اصلاح شده است که بر اساس تعداد عبارت های موجود در معادله به دست آمده برای مدل حاصل می شود، به طوری که اگر عبارت هایی که لازم نیستند (تأثیر ناچیزی) در معادله دارند (حذف شوند)،  $Adj-R^2$  حاصل می شود (Wardrop, 1990) and Myers, 1990) و مقدار آزمایشگاهی مقایسه شده است. همان طور که در این شکل مشاهده می شود، مقدار پیش‌بینی شده و مقدار آزمایشگاهی حول خط راست  $y = x$  توزیع شده‌اند که این نشان دهنده توانایی زیاد مدل در پیش‌بینی پاسخ است. بنابراین می‌توان نتیجه گیری کرد که مدل به دست آمده برای پاسخ، می‌تواند با دقت قابل قبول نتایج تجربی را مدل‌سازی کرده و برای پیش‌بینی پاسخ در شرایط دیگر پارامترها نیز بکار رود. نمودار نرمال شده در برابر خطاهای باقیمانده باید به صورت خطی با زاویه  $45^\circ$  درجه تغییر کند تا از صحت نتایج اطمینان حاصل شود. همچنین نمودار خطاهای باقیمانده به ازای هر آزمایش نشان می‌دهد که خطاهای موجود باید از حد معین (خطوط قرمز) عبور نکند تا بتواند با درصد زیادی قابل اطمینان باشد. در شکل های b-۶ و c-۶ به ترتیب نمودارهای بیان شده رسم شده و مشهود است که اکثر نقاط روی این خط با دقت زیادی قرار دارند و خطاهای برای هر آزمایش از محدوده خطاهای قابل قبول بیشتر نیست.

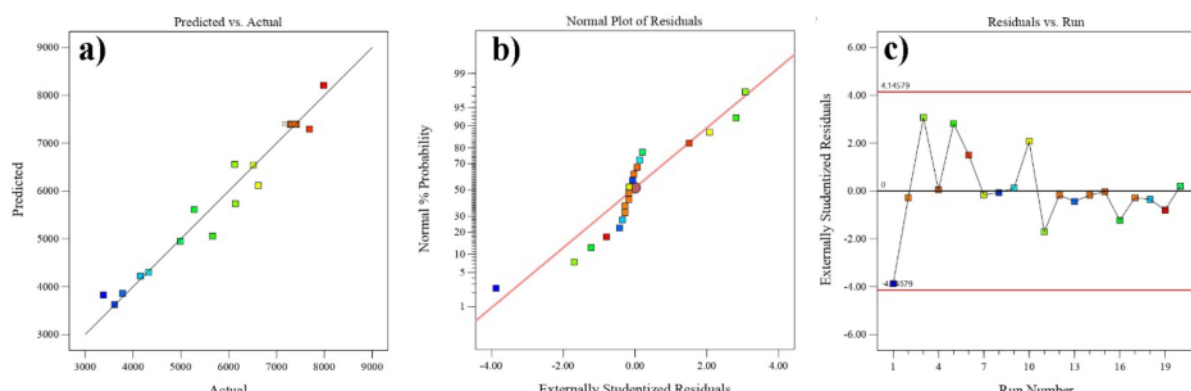
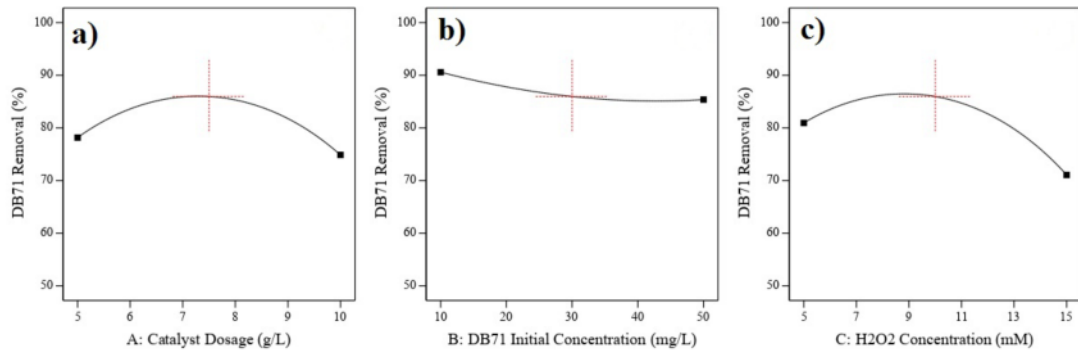


Fig. 6. a) Predicted vs. actual data, b) normal plot of residuals and c) residuals for each run of DB71 elimination

شکل ۶- (a) مقایسه مقدار واقعی و مقدار پیش‌بینی شده، (b) مقایسه مقدار نرمال شده در برابر خطاهای باقیمانده

و (c) نمودار خطاهای باقیمانده به ازای هر آزمایش حذف رنگزا آبی مستقیم ۷۱





**Fig. 7. Impact of a) catalyst dosage, b) DB71 initial concentration and c) H<sub>2</sub>O<sub>2</sub> concentration on DB71 elimination efficiency**

شکل ۷- تأثیر a) دوز کاتالیست، b) غلظت اولیه رنگزای آبی مستقیم ۷۱

یافته و شب کمتری پیدا می‌کند. به عبارت دیگر مابین ۴۰ تا ۵۰ mg/L درصد حذف تغییر چندانی نمی‌کند که علت این امر ناشی از محدود بود رادیکال‌های آزاد تولید شده در پساب و در معرض قرار گرفتن آنها با مولکول‌های آلایند است.

### ۳-۶-۳- مقدار اولیه هیدروژن پراکسید

همان طور که در شکل ۷-۳ نشان داده شده است، مقدار هیدروژن پراکسید در بازه ۵ تا ۱۵ mM تغییر می‌کند. سایر پارامترها (غلظت اولیه آلایند و دوز کاتالیست) در مقدار بهینه به دست آمده تنظیم شده است. با افزایش غلظت اولیه هیدروژن پراکسید درصد حذف آلایند افزایش می‌یابد که این امر به دلیل افزایش میزان تولید رادیکال‌های هیدروکسیل (واکنش ۱- جدول ۱) و در نتیجه آن احتمال تماس این رادیکال‌ها با مولکول‌های آلایند افزایش یافته و باعث تجزیه و از بین رفتن رنگزای آبی شود. این افزایش درصد حذف تا غلظت M ۱/۸۸۵۱ تا ۵۰ mg/L تغییر می‌کند. سایر پارامترها (مقدار اولیه هیدروژن پراکسید و دوز کاتالیست) در مقدار بهینه به دست آمده تنظیم شده است. همان طور که در شکل ۷-۳ نشان داده شده، تغییر این پارامتر تأثیر کمتری در مقایسه با سایر پارامترها دارد. مقدار بهینه و ماکسیمم حذف آلایند در ۱۰ mg/L مشاهده می‌شود، زیرا با کم شدن غلظت آلایند و با توجه به بیشتر بودن مقدار رادیکال‌های آزاد تولید شده، احتمال تماس این رادیکال‌ها با آلایند بیشتر شده و درصد حذف بیشتری در غلظت‌های کم از خود نشان می‌دهد. با افزایش غلظت اولیه آلایند، روند کاهشی در درصد حذف کاهش

هیدروژن پراکسید و غلظت اولیه آلایند) در مقدار بهینه به دست آمده تنظیم شده است. زمانی که دوز کاتالیست به ۵/۳۸۱۱ g/L می‌رسد، درصد حذف بیشترین مقدار را از خود نشان می‌دهد ولی با افزایش مجدد این مقدار، درصد حذف کاهش یافته و به تدریج شبیه تغییرات نزولی درصد حذف افزایش می‌یابد. علت این پدید را می‌توان در واکنش ۲ (جدول ۱) مشخص کرد، زیرا با افزایش مقدار کاتالیست و در معرض قرار گرفتن بیشتر آنها با رادیکال‌های تولید شده، این رادیکال‌ها به جای تجزیه مولکول‌های آلی با کاتالیست‌ها وارد واکنش شده و عملاً به هدر می‌روند. از این رو کاهش چشمگیری در درصد حذف بعد از مقدار بهینه دوز کاتالیست رخ می‌دهد و روند نزولی خواهد داشت. نتایج آن در شکل ۷-۳ نشان داده است.

### ۲-۶-۳- غلظت اولیه آلایند

غلظت اولیه رنگزای آبی مستقیم ۷۱ در پساب از ۱۰ تا ۵۰ mg/L تغییر می‌کند. سایر پارامترها (مقدار اولیه هیدروژن پراکسید و دوز کاتالیست) در مقدار بهینه به دست آمده تنظیم شده است. همان طور که در شکل ۷-۳ نشان داده شده، تغییر این پارامتر تأثیر کمتری در مقایسه با سایر پارامترها دارد. مقدار بهینه و ماکسیمم حذف آلایند در ۱۰ mg/L مشاهده می‌شود، زیرا با کم شدن غلظت آلایند و با توجه به بیشتر بودن مقدار رادیکال‌های آزاد تولید شده، احتمال تماس این رادیکال‌ها با آلایند بیشتر شده و درصد حذف بیشتری در غلظت‌های کم از خود نشان می‌دهد. با افزایش غلظت اولیه آلایند، روند کاهشی در درصد حذف کاهش



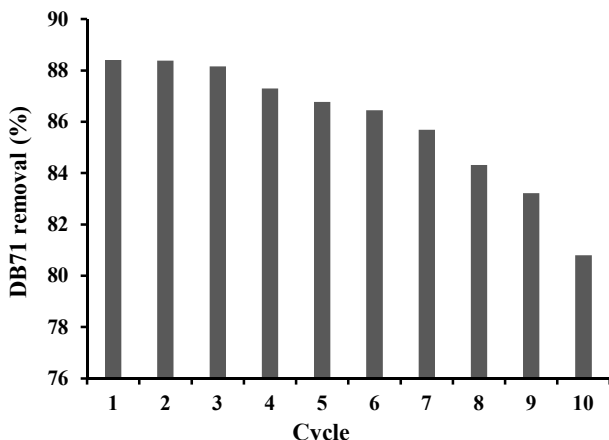


Fig. 8. Regeneration and reutilization of the catalysts in the consecutive heterogeneous Fenton processes

شکل ۸- بازیابی و استفاده مجدد کاتالیست‌های مصرف شده

در فرایند فنتون ناهمگن

نقطه بهینه تست COD به منظور بررسی میزان معدنی‌سازی این ماده انجام شد که نتیجه آن در شکل ۹ آمده است. همان طور که در این شکل مشخص است، COD اولیه محلول در یک ساعت درصد ۷۳/۵۲ را کاهش یافته که نشان‌دهنده آن است این مقدار درصد از رنگزا، به‌طور کامل حذف شده و به مواد غیرآلی  $\text{H}_2\text{O}$ ,  $\text{NO}_2$ ,  $\text{CO}_2$ ,  $\text{SO}_2$  تبدیل شده است. همان طور که بیان شد ۸۷ درصد رنگزا تجزیه شد و ۱۳ درصد آن در پساب ماند. این ۱۳ درصد به علاوه مقداری از رنگزا که به مولکول‌های سبک‌تر (مواد آلی واسطه) تجزیه شد، همان مواد آلی موجود در پساب بودند که COD باقیمانده (۲۶/۴۸ درصد از COD اولیه) را نشان می‌دهند.

نکته مهم دیگری که از این نمودار برداشت می‌شود تفاوت شیب تغییرات در دو نمونه است. مقدار COD طی لحظات ابتدایی فرایند فنتون، با سرعت بیشتری کاهش می‌یابد که می‌تواند ناشی از تجزیه ماده رنگزا و در نتیجه آن تبدیل آن به مولکول‌های سبک‌تر بوده و رادیکال‌های تولید شده جدید تمایل به واکنش با مواد آلی واسطه داشته تا به اجزای  $\text{H}_2\text{O}$ ,  $\text{NO}_2$ ,  $\text{CO}_2$  و  $\text{SO}_2$  تجزیه کنند. از این‌رو در لحظات ابتدایی واکنش COD پساب با سرعت بیشتری نسبت به غلظت رنگزا کاهش می‌یابد. از طرف دیگر با پیشرفت واکنش مقدار رادیکال‌های تولید شده کمتر می‌شود و توان واکنش با اجزای واسطه را کمتر داشته و با مولکول‌های در دسترس رنگزا واکنش می‌دهند.

### ۷-۳- بازیابی و استفاده مجدد کاتالیست

به منظور بررسی پایداری گرانول‌های سنتز شده، آزمایش استفاده مجدد از کاتالیست بعد از هر چرخه و بازیابی آنها انجام شد. در این آزمایش بعد از هر چرخه استفاده از کاتالیست، گرانول‌ها توسط اسید هیدروکلریک M ۲ به مدت نیم ساعت داخل شیکر انکیاتور هم زده شد و سپس چندین مرتبه با آب مقطر شسته شده و داخل آب مقطر به مدت نیم ساعت نگه داشته شد تا تمامی حفره‌های گرانول‌ها از وجود اسید و آلاینده‌های احتمالی پاک‌سازی شود. در انتهای گرانول‌ها را در آون خلاً به مدت یک ساعت و دمای ۸۰°C خشک کرده تا در چرخه حذف بعدی استفاده شود. همان طور که در شکل ۸ آمده است گرانول‌ها پایداری بسیار خوبی در فرایند فنتون هتروژن به دلیل ساختار نانوکامپوزیت تهیه شده از خود نشان دادند، به‌طوری که تا ۸ چرخه با کارایی بالای توانستند مجدداً در فرایند حذف استفاده شوند ولی بعد ۸ بار استفاده از گرانول‌ها درصد حذف ماده رنگزا توسط آنها با شیب بیشتری کاهش می‌یابد و بازده کمتری از خود نشان می‌دهند.

### ۸-۳- معدنی‌سازی آلاینده

همان طور که بیان شد در فرایند فنتون، رادیکال‌های آزاد فعال وظیفه حمله به آلاینده‌های آلی و شکستن پیوندهای بین مولکولی آنها و تجزیه این مولکول‌ها به مواد و مولکول‌های کوچک‌تر و در نهایت تبدیل تمامی مولکول‌های آلی به مولکول‌های  $\text{H}_2\text{O}$ ,  $\text{CO}_2$ ,  $\text{NO}_2$  و  $\text{SO}_2$  را دارند. به این مکانیزم تجزیه معدنی‌سازی آلاینده می‌گویند. در بخش‌های قبلی تجزیه رنگزا آبی مستقیم ۷۱ بررسی شد و از بین رفتن رنگ آبی از محلول پساب حاکی از تجزیه این رنگزا بود. از طرفی نحوه تجزیه این ماده و تبدیل شدن آن به مواد آلی دیگر به علت فعل فعال بودن رادیکال‌های هیدروکسیل تولید شده توسط فرایند فنتون ناهمگن، غیرقابل ردیابی بوده و تجزیه این آلاینده با استفاده از روش اندازه‌گیری COD در این بخش بررسی شد تا میزان تجزیه به مواد  $\text{H}_2\text{O}$ ,  $\text{CO}_2$ ,  $\text{NO}_2$  و  $\text{SO}_2$  بررسی شود. در اکثر آزمایش‌های انجام شده حدود ۸۰ درصد رنگ آبی (نشانگر حضور رنگزا) از محلول حذف شده و ۸۷ درصد آلاینده در نقطه‌ای که هریک از پارامترهای مستقل میزان بهینه خود را داشتند، حذف شده است. این مقدار حذف یا تجزیه صرفاً مربوط به مولکول رنگزا آبی مستقیم ۷۱ بوده و در این



جدول ۶- حذف رنگ‌زای آبی مستقیم ۷۱ گزارش شده در پژوهش‌های پیشین

Table 6. DB71 elimination reported by previous studies

Process type	H <sub>2</sub> O <sub>2</sub> (mM)	Catalyst dosage (mg/L)	DB71(mg/L)	Reference
Fenton	5	1.4×10 <sup>-3</sup>	12.86	(Tunç et al., 2012)
Fenton	3.67	3×10 <sup>-3</sup>	25	(Ertugay and Acar, 2017)
Heterogeneous Fenton	85.3	10	5	(Sasieekhumar et al., 2017)
Heterogeneous Fenton	8.18851	5.38110	10	This study

بهینه به دست آمده توسط آنالیز RSM انجام شد. ۱۰۰ ml پساب حاوی ۱۰ mg/L از آلاینده در مدت ۳۰ دقیقه طی فرایند فنتون ناهمگن، آزمایش شد و نتایج حذف در زمان‌های مختلف اندازه‌گیری شد تا توسط دو معادله سینتیکی شبکه درجه اول و دوم، بررسی شود. معادله سینتیکی شبکه درجه اول و دوم به ترتیب در معادلات ۱ و ۲ آمده است

$$\ln(q_e - q_t) = \ln q_e - k_f t \quad (1)$$

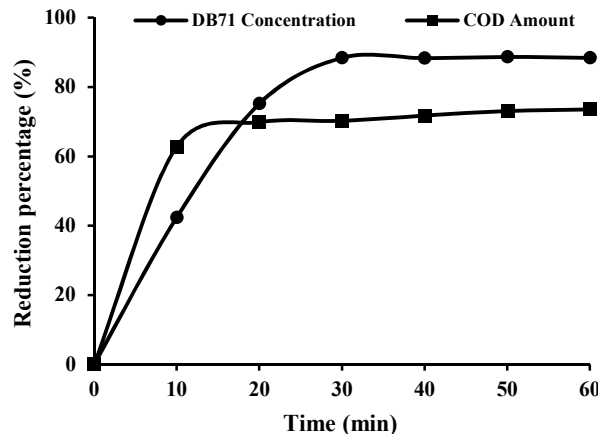
$$\frac{t}{q_t} = \frac{1}{k_s q_e^2} + \frac{t}{q_e} \quad (2)$$

که در آنها

$k_s$ ,  $k_f$  و  $t$  به ترتیب نشان‌دهنده ظرفیت حذف در حالت تعادل (mg/g)، ظرفیت حذف در زمان دلخواه (mg/g). ثابت سینتیکی شبکه درجه اول ( $\text{min}^{-1}$ ), ثابت سینتیکی شبکه درجه دوم (Fu et al., 2017) ( $\text{min}^{-1}$ ) و زمان دلخواه (mg/min) هستند (min). با رسم  $\ln(q_e - q_t)$  بر حسب  $t$  مقدار  $q_e$  برابر  $1/750.6$  به دست آمد که به عدد  $1/6430$  (مقدار  $q_e$  تجربی) نزدیک است که نشان‌دهنده تطابق این فرایند با معادله سینتیکی شبکه درجه اول است. همچنین با توجه به  $R^2$  به دست آمده دو مدل، این نتیجه را می‌توان گرفت که این فرایند حذف به مدل شبکه درجه اول نزدیک تر است. نتایج کمی مدل سینتیکی در جدول ۵ و شکل ۱۰ آمده است.

#### ۴- نتیجه‌گیری

این پژوهش از چارچوب فلز-آلی به منظور استفاده در فرایند فنتون هتروژن استفاده شد و به منظور بهبود شرایط عملیاتی مانند استفاده آسان‌تر از کاتالیست، CuBDC بر روی گرانول‌های سلولزی نشانده



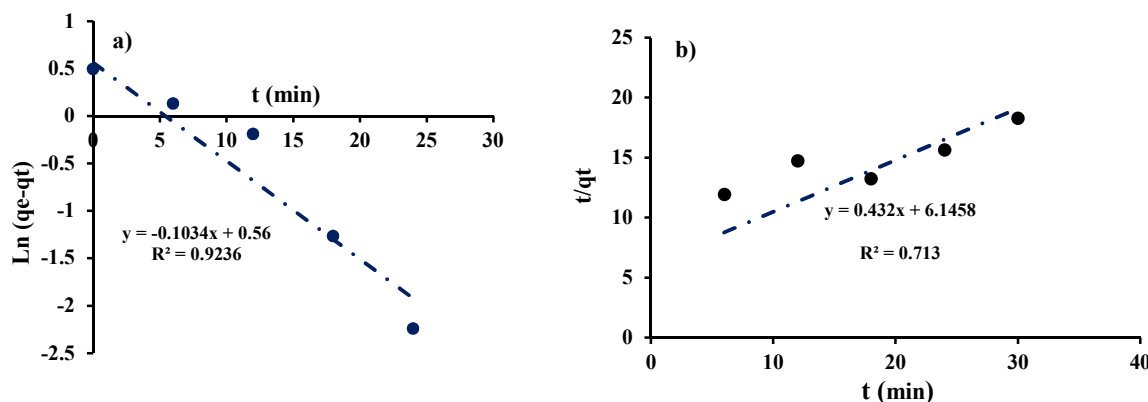
شکل ۹- ارزیابی حذف رنگ‌زای آبی مستقیم ۷۱ و COD پساب در نقطه بهینه عملیاتی

در جدول ۶، حذف رنگ‌زای آبی مستقیم ۷۱ از محلول آبی، توسط پژوهش‌های پیشین ارائه و نتایج آنها با این پژوهش قابل مقایسه شده است. همان طور که مشاهده می‌شود در فرایند فنتون همگن میزان مصرف کاتالیست و هیدروژن پراکسید کمتر از فنتون ناهمگن است ولی از طرفی کاتالیست‌ها قابل بازیابی نبوده و استفاده از آن به صورت همگن باعث تولید لجن داخل پساب می‌شود. از طرفی کاتالیست این پژوهش طوری طراحی شد که در مقایسه با سایر فرایند فنتون هیدروژن مقدار بسیار کمتری کاتالیست و هیدروژن پراکسید مصرف کند و مقدار این دو پارامتر، مخصوصاً هیدروژن پراکسید، به مقدار مشابه فرایند فنتون همگن نزدیک بود.

#### ۳- سینتیک حذف آلاینده

مطالعه سینتیکی حذف رنگ‌زای آبی مستقیم ۷۱ در شرایط و مقدار





**Fig. 10.** Kinetic study of DB71 removal from the effluent by a) pseudo first order and b) pseudo second order models

شکل ۱۰- مطالعه سینتیکی حذف رنگزای آبی مستقیم ۷۱ از پساب توسط (a) مدل سینتیکی شبهمرتبه اول و (b) مدل شبهمرتبه دوم

پارامترها مشخص شد. همچنین این کاتالیست طوری طراحی شد که علاوه بر داشتن کارایی زیاد در حذف آلاینده رنگزای آبی، توانایی تجزیه مولکول‌های واسطه ایجاد شده طی فرایند فنتون را داشت و مقدار COD اولیه محلول پساب را  $73/52$  درصد کاهش داد. علاوه بر مزایای نام برده، گرانول‌ها بعد از هر بار بازیابی توانستند در ۸ مرحله مجدداً بدون کاهش چشمگیری در کارایی‌شان، در فرایند حذف آلاینده استفاده شوند.

## ۵- قدردانی

این پژوهش در آزمایشگاه مهندسی شیمی و نفت دانشگاه تبریز انجام شد. به این وسیله نویسندها، از تمامی حمایت‌های مادی و معنوی دانشگاه تبریز قدردانی می‌کنند.

شده تا در فرایند فنتون برای حذف رنگزای سمت آبی مستقیم ۷۱، استفاده شد. در ادامه پژوهش، نانوکامپوزیت cellulose/CuBDC/Fe<sub>3</sub>O<sub>4</sub> به صورت گرانولی سنتز شده و هدف از افروختن نانوذرات Fe<sub>3</sub>O<sub>4</sub> افزایش کارایی در واکنش فنتون بود. نتایج حاصل حاکی از بهبود کارایی کاتالیست cellulose/CuBDC/Fe<sub>3</sub>O<sub>4</sub> بود. همچنین آنالیزهای مختلف مشخصه‌یابی (FTIR, EDX, SEM, XRD) کاتالیست‌ها انجام شد تا از صحت سنتز و نشانه شدن نانوذرات بر روی گرانول‌های سلولری اطمینان حاصل شود. به منظور بررسی تأثیر پارامترهای عملیاتی مانند غلظت اولیه ماده رنگزا، دوز کاتالیست و غلظت اولیه هیدروژن پراکسید، طراحی و مدل‌سازی آزمایش به روش RSM انجام و مقدار بهینه هر یک از

## References

- Aghdasinia, H., Bagheri, R., Vahid, B. & Khataee, A. 2016. Central composite design optimization of pilot plant fluidized-bed heterogeneous Fenton process for degradation of an azo dye. *Environmental Technology*, 37(21), 2703-2712.
- Alamgholiloo, H., Pesyan, N. N., Mohammadi, R., Rostamnia, S. & Shokouhimehr, M. 2021. Synergistic advanced oxidation process for the fast degradation of ciprofloxacin antibiotics using a GO/CuMOF-magnetic ternary nanocomposite. *Journal of Environmental Chemical Engineering*, 9, 105486.
- Bazer-Bachi, D., Assié, L., Lecocq, V., Harbuzaru, B. & Falk, V. 2014. Towards industrial use of metal-organic framework: impact of shaping on the MOF properties. *Powder Technology*, 255, 52-59.
- Crini, G. & Lichtfouse, E. 2019. Advantages and disadvantages of techniques used for wastewater treatment. *Environmental Chemistry Letters*, 17, 145-155.



- Dichiara, A. B., Weinstein, S. J. & Rogers, R. E. 2015. On the choice of batch or fixed bed adsorption processes for wastewater treatment. *Industrial and Engineering Chemistry Research*, 54, 8579-8586.
- Emady, H., Hapgood, K. & Smith, R. 2016. *Granulation and Tabletting. Production, Handling and Characterization of Particulate Materials*. In: Kersbergen, A. 2016. *Particle Technology Series*. Springer, Cham. 107-136.
- Ertugay, N. & Acar, F. N. 2017. Removal of COD and color from Direct Blue 71 azo dye wastewater by Fenton's oxidation: kinetic study. *Arabian Journal of Chemistry*, 10, S1158-S1163.
- Farshchi, M. E., Aghdasinia, H. & Khataee, A. 2018. Modeling of heterogeneous Fenton process for dye degradation in a fluidized-bed reactor: kinetics and mass transfer. *Journal of Cleaner Production*, 182, 644-653.
- Farshchi, M. E., Aghdasinia, H. & Khataee, A. 2019. Heterogeneous Fenton reaction for elimination of Acid Yellow 36 in both fluidized-bed and stirred-tank reactors: computational fluid dynamics versus experiments. *Water Research*, 151, 203-214.
- Fu, Q., Wen, L., Zhang, L., Chen, X., Pun, D., Ahmed, A., et al. 2017. Preparation of ice-templated MOF-polymer composite monoliths and their application for wastewater treatment with high capacity and easy recycling. *ACS Applied Materials and Interfaces*, 9, 33979-33988.
- Hinkelmann, K. & Kempthorne, O. 2012. *Design and Analysis of Experiments, Special Designs and Applications*. John Wiley & Sons. New Jersey, USA.
- Khataee, A., Gholami, P. & Sheydae, M. 2016. Heterogeneous Fenton process by natural pyrite for removal of a textile dye from water: effect of parameters and intermediate identification. *Journal of the Taiwan Institute of Chemical Engineers*, 58, 366-373.
- Kirchon, A., Zhang, P., Li, J., Joseph, E. A., Chen, W. & Zhou, H. C. 2020. Effect of isomorphic metal substitution on the Fenton and Photo-Fenton degradation of methylene blue using Fe-based metal-organic frameworks. *ACS Applied Materials and Interfaces*, 12, 9292-9299.
- Li, J., Tao, T., Li, X. B., Zuo, J. L., Li, T., Lu, J., et al. 2009. A spectrophotometric method for determination of chemical Oxygen demand using home-made reagents. *Desalination*, 239, 139-145.
- Liu, X., Wang, X. & Kapteijn, F. 2020. Water and metal-organic frameworks: from interaction toward utilization. *Chemical Reviews*, 120, 8303-8377.
- Ma, Y., Wang, L., Ma, J., Wang, H., Zhang, C., Deng, H., et al. 2021. Investigation into the enhanced catalytic oxidation of O-Xylene over MOF-derived  $\text{Co}_3\text{O}_4$  with different shapes: the role of surface twofold-coordinate lattice oxygen ( $\text{O}_{2f}$ ). *ACS Catalysis*, 11, 6614-6625.
- Moradi, M., Eslami, A. & Ghanbari, F. 2016. Direct Blue 71 removal by electrocoagulation sludge recycling in photo-Fenton process: response surface modeling and optimization. *Desalination and Water Treatment*, 57, 4659-4670.
- Myers, R. H., Montgomery, D. C. & Anderson-Cook, C. M. 2009. *Response Surface Methodology: Process and Product Optimization Using Designed Experiments*. John Wiley & Sons. New Jersey, USA.
- Peng, D., Zhang, Y., Xu, G., Tian, Y., Ma, D., Zhang, Y., et al. 2020. Synthesis of multilevel structured  $\text{MoS}_2@\text{Cu}/\text{Cu}_2\text{O}@\text{C}$  visible-light-driven photocatalyst derived from MOF-guest polyhedra for cyclohexane oxidation. *ACS Sustainable Chemistry and Engineering*, 8, 6622-6633.



- Pronk, W., Ding, A., Morgenroth, E., Derlon, N., Desmond, P., Burkhardt, M., et al. 2019. Gravity-driven membrane filtration for water and wastewater treatment: a review. *Water Research*, 149, 553-565.
- Sasieekumar, A., Somanathan, T., Abilarasu, A. & Shanmugam, M. 2017. Visible light induced heterogeneous photo-fenton oxidation of direct blue 71 using mesoporous Fe/KIT-6. *Research Journal of Pharmacy and Technology*, 10, 1455.
- Sjöblom, J., Papadakis, K., Creaser, D. & Odenbrand, C. I. 2005. Use of experimental design in development of a catalyst system. *Catalysis Today*, 100, 243-248.
- Tunç, S., Gürkan, T. & Duman, O. 2012. On-line spectrophotometric method for the determination of optimum operation parameters on the decolorization of Acid Red 66 and Direct Blue 71 from aqueous solution by Fenton process. *Chemical Engineering Journal*, 181, 431-442.
- Wang, Z., Yin, Q., Gu, M., He, K. & Wu, G. 2018. Enhanced azo dye Reactive Red 2 degradation in anaerobic reactors by dosing conductive material of ferroferric oxide. *Journal of Hazardous Materials*, 357, 226-234.
- Wardrop, D. M. & Myers, R. H. 1990. Some response surface designs for finding optimal conditions. *Journal of Statistical Planning and Inference*, 25, 7-28.
- Yu, M., Wang, J., Tang, L., Feng, C., Liu, H., Zhang, H., et al. 2020. Intimate coupling of photocatalysis and biodegradation for wastewater treatment: mechanisms, recent advances and environmental applications. *Water Research*, 175, 115673.



This work is licensed under a [Creative Commons Attribution 4.0 International License](#)

